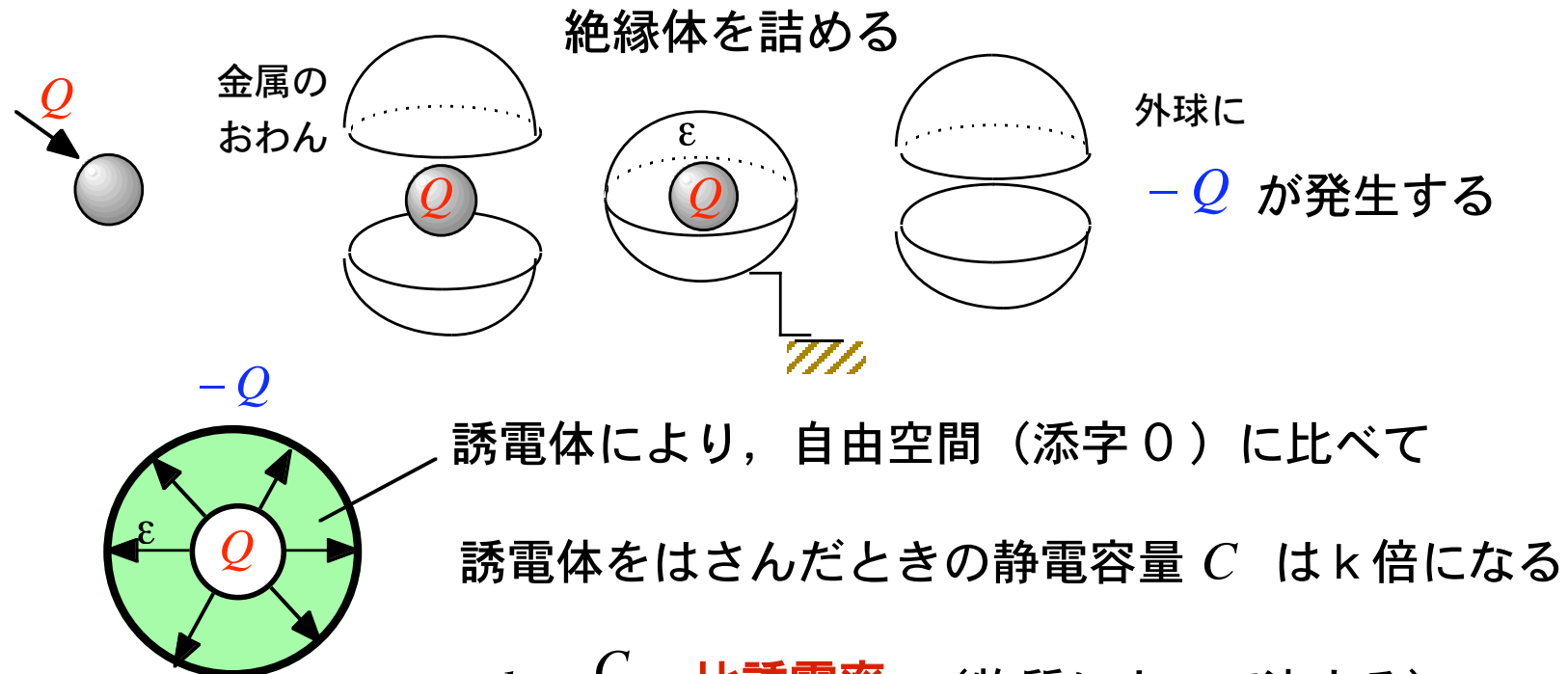


# 誘電体

Michael Faraday (UK)の実験



絶縁体=誘電体  
電流は通さないが  
電界を変化させる

$$k = \frac{C}{C_0} \quad \text{比誘電率} \quad (\text{物質によって決まる})$$

誘電体により, 静電容量を大きくできる

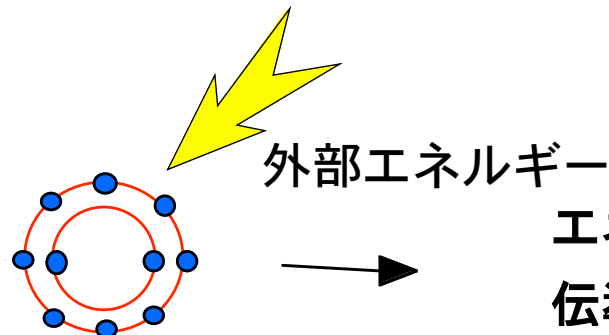
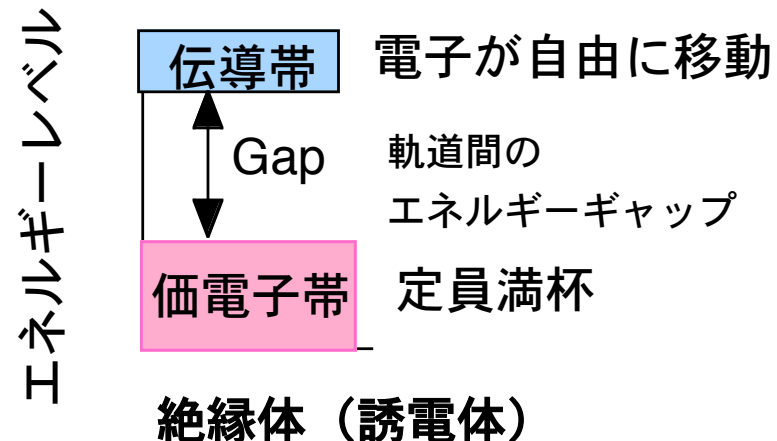
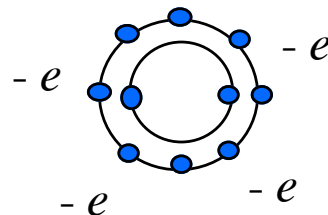
$$C = \frac{Q}{V} \qquad Q = C V = k Q_0 = k C_0 V_0$$

## 誘電体について（詳細）

全ての物質は陽子、中性子、電子からなる。

プラスとマイナスの電荷は等しく、等量だけ存在

電子定員数は満杯状態  
(束縛されている)

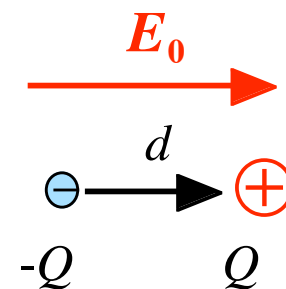
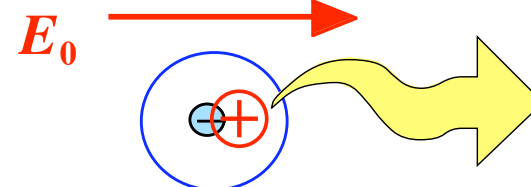
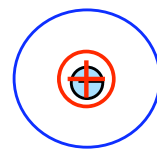


エネルギーGapが大きいので電子は  
伝導帯のレベルに移れない

(巨大エネルギーを与えて、移った場合は、絶縁破壊が起きる)

## 微細構造 プラスとマイナスの電荷は等しく、等量だけ存在

外部から電界をかける



両者の中心は一致  
電子の方が軽い

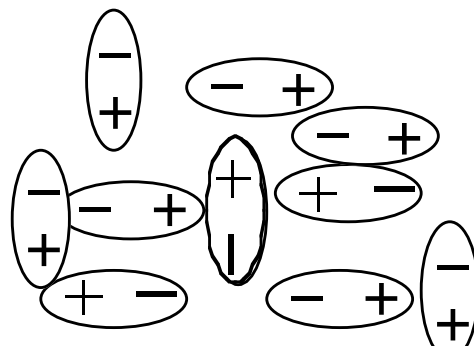
両者の中心は離れる

電気双極子を形成

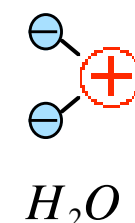
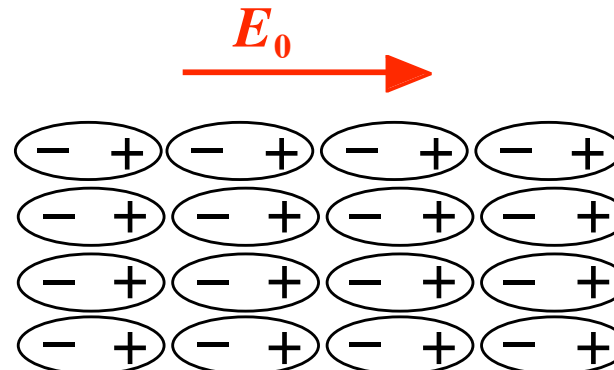


電子分極  
原子分極  
配向分極

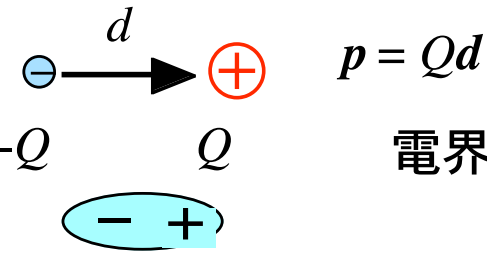
$E_0 = 0$  多数の分子が集まっている状態では



ランダム配置



電気双極子の集合



双極子モーメント

$$p = Qd$$

電界に比例するので

$$p = \alpha E$$

単位体積あたりN個

平均双極子モーメント

$$\bar{P} = \sum_{i=1}^N p_i$$

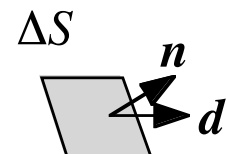
$\bar{P}$  分極ベクトルという

$$\bar{P} = N \alpha E$$

電荷密度  $\rho$  で  $\Delta v$  の体積中の双極子モーメントは

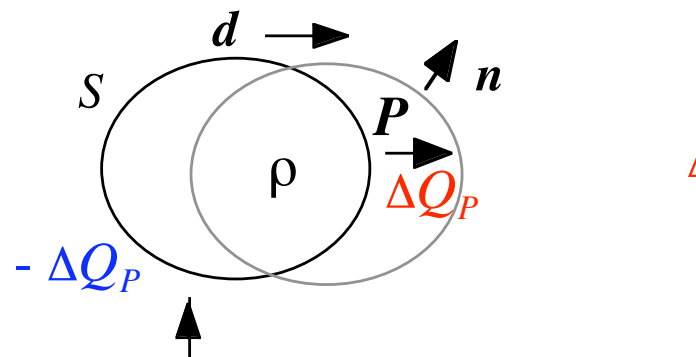
$$\Delta p = \rho \Delta v d$$

$$\bar{P} = \frac{\Delta p}{\Delta v} = \rho d$$



$$\Delta Q_P$$

$d$  だけ移動したときに  $\Delta S$  を通過する電荷は



$$\Delta Q_P = \rho d \cdot n \Delta S = \bar{P} \cdot n \Delta S = \bar{P} \cdot dS$$

体積

$\Delta Q_P$  だけ移動すると

元の体積にとって

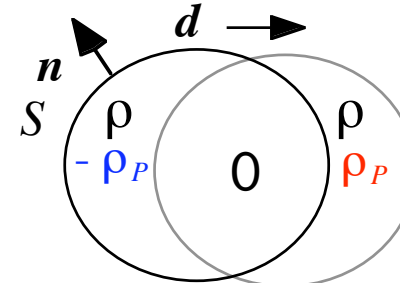
-  $\Delta Q_P$  ができたことと等しい

体積  $v$  内では  $-\mathcal{Q}_P = \oint_S \mathbf{P} \cdot d\mathbf{S}$  が発生し、その結果、分極電荷が発生する  
 $-\rho_P$

$$\oint_S \mathbf{P} \cdot d\mathbf{S} = \int_v \nabla \cdot \mathbf{P} dv = - \int_v \rho_P dv$$

(ガウスの定理より)

$$\nabla \cdot \mathbf{P} = -\rho_P$$



電荷から発生する電束について

$$\nabla \cdot \mathbf{E} = \frac{1}{\epsilon_0} (\rho + \rho_P) = \frac{1}{\epsilon_0} (\rho - \nabla \cdot \mathbf{P})$$

$$\nabla \cdot (\epsilon_0 \mathbf{E} + \mathbf{P}) = \rho = \nabla \cdot \mathbf{D}$$

真の電荷から発生

$\epsilon_0$  は自由空間の誘電率

$$\nabla \cdot \epsilon_0 \mathbf{E} = \rho - \nabla \cdot \mathbf{P}$$

$$\mathbf{P} = N \alpha \mathbf{E} \Rightarrow \mathbf{P} = \chi_e \epsilon_0 \mathbf{E}$$

書換

$$\mathbf{D} = \epsilon_0 \mathbf{E} + \mathbf{P} = \epsilon_0 \mathbf{E} + \chi_e \epsilon_0 \mathbf{E} = \epsilon_0 (1 + \chi_e) \mathbf{E}$$

$$\mathbf{D} = \epsilon_0 \epsilon_r \mathbf{E} = \epsilon \mathbf{E}$$

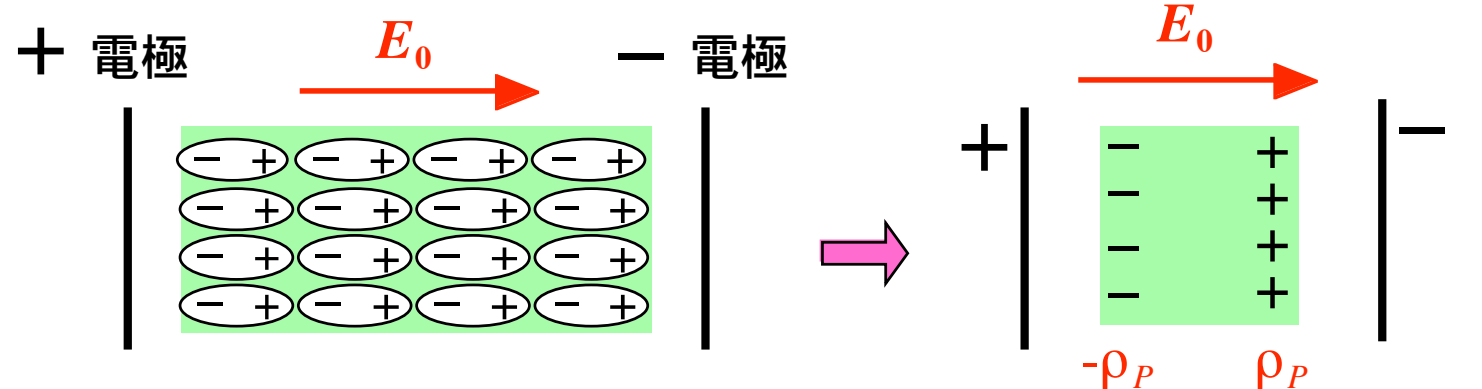
電束密度

誘電率

比誘電率  $\epsilon_r = 1 + \chi_e$

$\mathbf{D} = \epsilon \mathbf{E}$

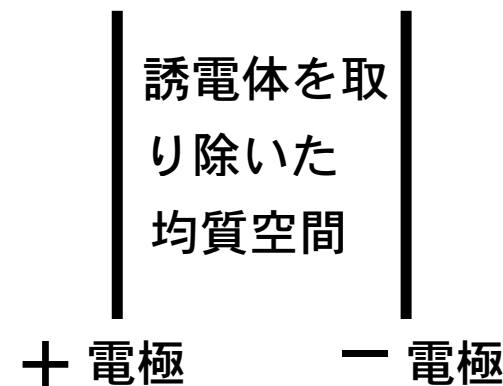
$\epsilon = \epsilon_0 \epsilon_r$



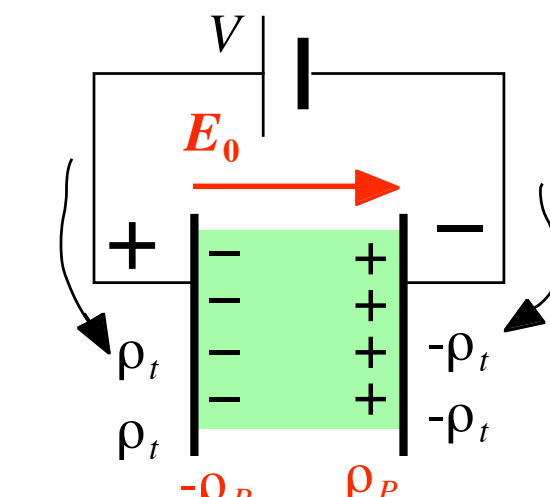
分極による電荷が現れる



電荷密度分布  $(\rho_t - \rho_P)$      $-(\rho_t - \rho_P)$



$\rho_P$  分極による電荷密度

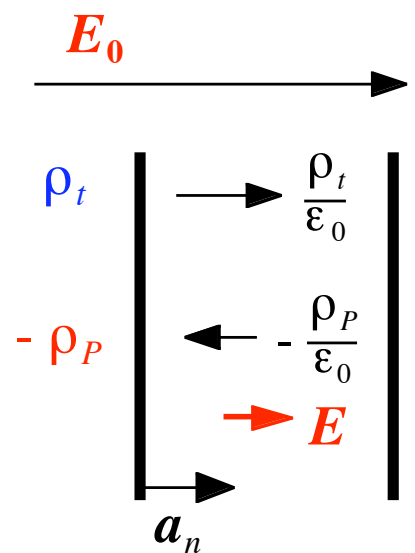


$\rho_t$  真の電荷密度

## 誘電体中の電界 $E$

$$D = \epsilon_0 E + P = \epsilon_0 \epsilon_r E$$

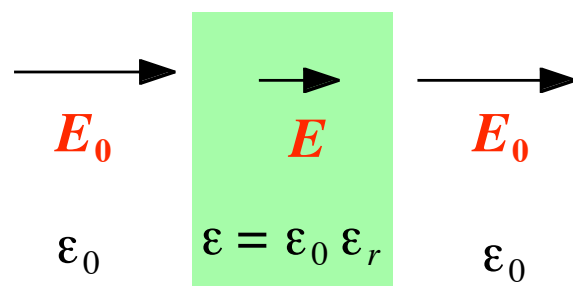
$$P = \epsilon_0 \epsilon_r E - \epsilon_0 E = \epsilon_0 (\epsilon_r - 1) E$$



誘電体中の電界  $E$   
自由空間中  $E = \frac{\rho_t}{\epsilon_0} a_n$   
に比べて  $\frac{\rho_P}{\epsilon_0} a_n$  だけ少ない

$$E = \frac{1}{\epsilon_0} (D - P) = \frac{D}{\epsilon_0 \epsilon_r}$$

分極の効果  $\Rightarrow \frac{1}{\epsilon_r}$  による効果と考えると簡単



$$D = \epsilon E = \epsilon_0 \epsilon_r E$$

比誘電率  
 $\epsilon_r \geq 1$

$\epsilon_r = 80$	水	$\frac{1}{\epsilon_r}$ 倍へ
$\epsilon_r = 3.2$	氷	
$\epsilon_r = 1$	空気	

電界は

$\frac{1}{\epsilon_r}$  倍へ

## 境界条件

誘電体 1

誘電体 2

$$\oint \mathbf{E} \cdot d\mathbf{l} = 0$$

$$\int_A^B + \int_B^C + \int_C^D + \int_D^A = 0$$

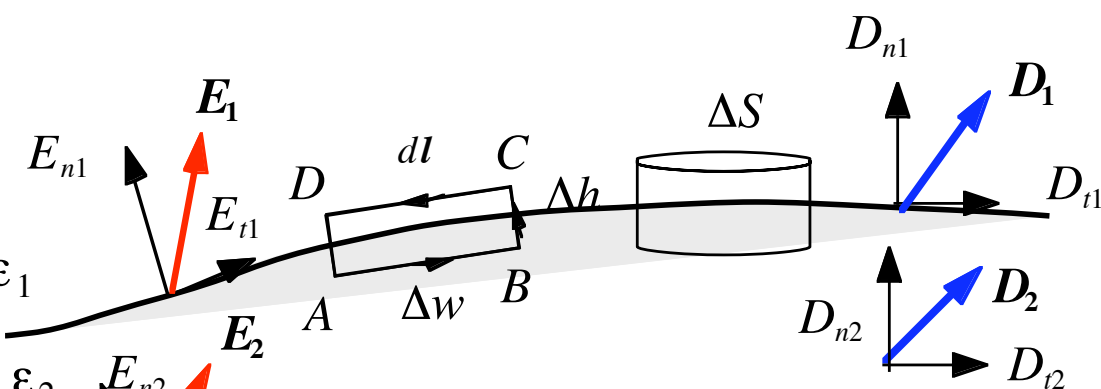
$$E_{t2} \Delta w + \frac{\Delta h}{2} (E_{n2(B)} + E_{n1(C)})$$

$$- E_{t1} \Delta w - \frac{\Delta h}{2} (E_{n1(D)} + E_{n2(A)}) = 0$$

$\Delta h \Rightarrow 0$  の極限では

$$(E_{t2} - E_{t1}) \Delta w = 0$$

電界の接線成分の連続性



$$\oint_S \mathbf{D} \cdot d\mathbf{S} = Q$$

$$\int_{upper} + \int_{side} + \int_{lower} = Q$$

$$D_{n1} \Delta S + \frac{\Delta h}{2} L (D_{t1} + D_{t2}) - D_{n2} \Delta S = \rho_s \Delta S$$

$\Delta h \Rightarrow 0$  の極限では

$$D_{n1} - D_{n2} = \begin{cases} \rho_s & \text{表面電荷を置いた場合} \\ 0 & \text{置かない場合} \end{cases}$$

$$\begin{aligned} E_{t1} &= E_{t2} \\ \frac{D_{t1}}{\varepsilon_1} &= \frac{D_{t2}}{\varepsilon_2} \end{aligned}$$

$$\begin{aligned} D_{n1} &= D_{n2} \\ \varepsilon_1 E_{n1} &= \varepsilon_2 E_{n2} \end{aligned}$$

電束密度の  
法線成分の  
連続性

## 境界条件から導出される屈折の性質

$$\mathbf{D} = \epsilon \mathbf{E}$$

$$E_{t1} = E_{t2}$$

電界の接線成分の連続性

$$\frac{D_1}{\epsilon_1} \sin \theta_1 = \frac{D_2}{\epsilon_2} \sin \theta_2$$

$$D_{n1} = D_{n2}$$

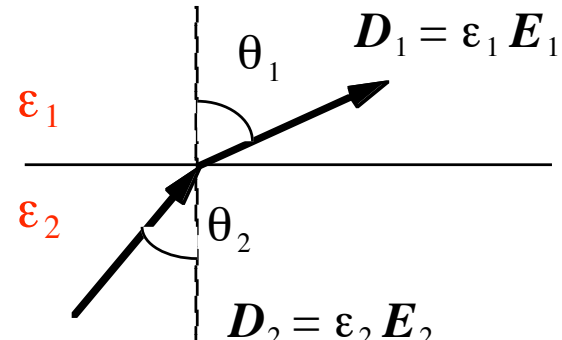
電束密度の法線成分の連続性

$$D_1 \cos \theta_1 = D_2 \cos \theta_2$$

したがって

$$\frac{\tan \theta_1}{\epsilon_1} = \frac{\tan \theta_2}{\epsilon_2}$$

$$\frac{\tan \theta_1}{\tan \theta_2} = \frac{\epsilon_1}{\epsilon_2}$$



$$\text{if } \epsilon_2 < \epsilon_1 \iff \theta_2 < \theta_1$$

$$\text{if } \epsilon_1 < \epsilon_2 \iff \theta_1 < \theta_2$$

## 屈折の続き

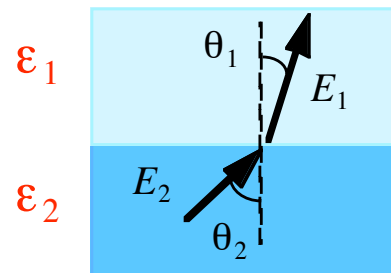
電界の大きさ  $E_2 = \sqrt{E_{t2}^2 + E_{n2}^2} = E_1 \sqrt{\sin^2 \theta_1 + \left( \frac{\epsilon_1}{\epsilon_2} \right)^2 \cos^2 \theta_1}$

電束密度の大きさ  $D_2 = \sqrt{D_{n2}^2 + D_{t2}^2} = D_1 \sqrt{\cos^2 \theta_1 + \left( \frac{\epsilon_2}{\epsilon_1} \right)^2 \sin^2 \theta_1}$

以上をまとめると

if  $\epsilon_1 < \epsilon_2$

then

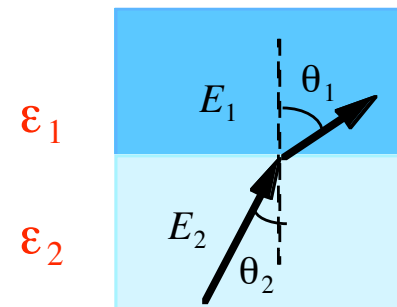


$$\theta_1 < \theta_2$$

$$E_2 < E_1$$

if  $\epsilon_2 < \epsilon_1$

then



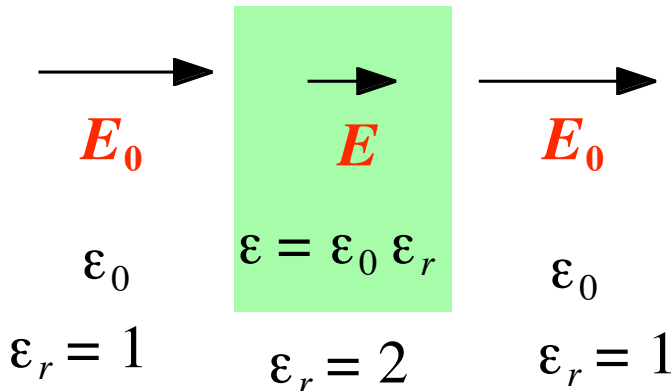
$$\theta_2 < \theta_1$$

$$E_1 < E_2$$

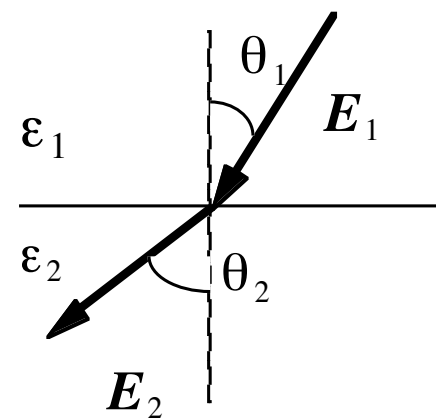
the same figures

これから一般的な結論は？

## Comprehension Check !



図のような誘電体平板の中の電界を求めよ  
ただし、外部からの印可電界は  
 $E_0$  とする。



自由空間  $\epsilon_1 = \epsilon_0$  から  $\theta_1 = 45^\circ$   
の入射角で電界が誘電体平面に入っ  
ているとき、誘電体内の屈折角  
 $\theta_2$  を求めよ。ただし、  
 $\epsilon_2 = \sqrt{3} \epsilon_0$  とする。

# 誘電体中に蓄えられるエネルギー

$D = \epsilon E$  を使って 単位体積当たりの密度は

$$\frac{D \cdot E}{2} = \frac{\epsilon E \cdot E}{2} = \frac{\epsilon |E|^2}{2} = \frac{|D|^2}{2\epsilon}$$

$$\epsilon_0 \Rightarrow \epsilon = \epsilon_0 \epsilon_r$$

全空間では体積積分

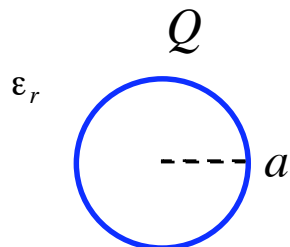
$$W_e = \frac{1}{2} \int_v D \cdot E dv$$

## 例 1

半径  $a$  の球殻が電荷  $Q$  をもっている。その電荷による静電エネルギーは？

$$D = \epsilon_0 \epsilon_r E = \frac{Q}{4\pi r^2} a_r$$

$$w_e = \frac{D \cdot E}{2} = \frac{D^2}{2 \epsilon} = \frac{1}{2 \epsilon_0 \epsilon_r} \left( \frac{Q}{4\pi r^2} \right)^2$$



$$r > a \quad \epsilon_r$$

の誘電体中に蓄えられる  
エネルギーは

自由空間に比べて

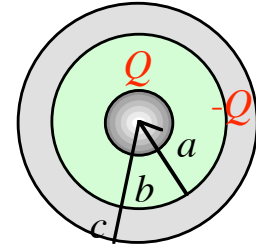
$$\frac{1}{\epsilon_r} \text{ 減少}$$

$$W_e = \int_v w_e dv = \frac{1}{2\epsilon_0 \epsilon_r} \int_a^\infty \left( \frac{Q}{4\pi r^2} \right)^2 4\pi r^2 dr = \frac{Q^2}{8\pi \epsilon_0 \epsilon_r a}$$

## 2つの同心球

$$a < r < b$$

に誘電体を入れたときの静電容量の比較



$$\epsilon = \epsilon_0 \text{ (自由空間)}$$

$$\epsilon = \epsilon_0 \epsilon_r \text{ (誘電体)}$$

ガウスの法則  $\oint_S D \cdot dS = D_r 4\pi r^2 = Q$

$$D_r = \epsilon_0 E_r = \frac{Q}{4\pi r^2}$$

$$D_r = \epsilon_0 \epsilon_r E_r = \frac{Q}{4\pi r^2}$$

電界

$$E = E_r \mathbf{a}_r = \frac{Q}{4\pi \epsilon_0 r^2} \mathbf{a}_r$$

$$E = E_r \mathbf{a}_r = \frac{Q}{4\pi \epsilon_0 \epsilon_r r^2} \mathbf{a}_r$$

$$V = - \int_b^a \frac{Q}{4\pi \epsilon_0 r^2} \mathbf{a}_r \cdot dr \mathbf{a}_r = - \int_b^a \frac{Q dr}{4\pi \epsilon_0 r^2} = \frac{Q}{4\pi \epsilon_0} \left[ \frac{1}{r} \right]_b^a = \frac{Q}{4\pi \epsilon_0} \left( \frac{1}{a} - \frac{1}{b} \right)$$

電位差

$$V = \frac{Q}{4\pi \epsilon_0} \left( \frac{1}{a} - \frac{1}{b} \right)$$

$$V_{\epsilon_r} = \frac{Q}{4\pi \epsilon_0 \epsilon_r} \left( \frac{1}{a} - \frac{1}{b} \right)$$

静電容量

$$C = \frac{Q}{V} = \frac{4\pi \epsilon_0}{\left( \frac{1}{a} - \frac{1}{b} \right)}$$

$$C_{\epsilon_r} = \frac{Q}{V_{\epsilon_r}} = \frac{4\pi \epsilon_0 \epsilon_r}{\left( \frac{1}{a} - \frac{1}{b} \right)}$$

$$\frac{C_{\epsilon_r}}{C} = \epsilon_r$$

誘電体によって静電容量は  $\epsilon_r$  倍増える

誘電体を入れることによって減少した分の電圧を  $V_{\epsilon_r} = \frac{V_0}{\epsilon_r} \Rightarrow V_0$

と一定になるように、電荷を供給してやれば、 $Q_0 \Rightarrow Q'$

$$Q_0 = C_0 V_0 = C_{\epsilon_r} V_{\epsilon_r} = \epsilon_r C_0 \frac{V_0}{\epsilon_r} \Rightarrow \epsilon_r C_0 V_0 = Q'$$

誘電体に蓄えられるエネルギーは増加する

$$\frac{Q' V_0}{2} = \frac{C_{\epsilon_r} V_0^2}{2} = \epsilon_r \frac{C_0 V_0^2}{2}$$

$$Q' = \epsilon_r C_0 V_0$$

